

## AULA 26 – MÉTODO DAS DIFERENÇAS FINITAS

**CONTEÚDO E OBJETIVOS DE APRENDIZADO:** Como implementar a solução por diferenças finitas da equação do calor?

### PARTE 1 – INTRODUÇÃO

Verificamos, nas ultimas aulas, que a expressão geral para a difusão de calor, em coordenadas cartesianas pode ser escrita como:

$$\rho C_p \frac{\partial T}{\partial t} = \frac{\partial}{\partial x} \left( \kappa \frac{\partial T}{\partial x} \right) + \frac{\partial}{\partial y} \left( \kappa \frac{\partial T}{\partial y} \right) + \frac{\partial}{\partial z} \left( \kappa \frac{\partial T}{\partial z} \right) + \dot{q}$$

- ❖ Faça uma revisão da última aula para relembrar qual a condição física descrita acima e o significado de cada um dos termos na equação.

A equação do calor ou de difusão de calor é uma equação diferencial parcial parabólica de segunda ordem e que com condições de contorno apropriadas determina o campo de temperatura, ou seja, representa como a temperatura varia com a posição no meio. Observamos também que, para transferência de calor unidimensional em regime permanente e sem geração de energia, a equação da difusão se reduz a:

$$\frac{\partial}{\partial x} \left( \kappa \frac{\partial T}{\partial x} \right) = 0$$

Essa equação é chamada de equação de Laplace, e é usada tipicamente para caracterizar sistemas estacionários, indicado pela ausência de derivada temporal.

### PARTE 2 – SOLUÇÃO DA EQUAÇÃO DO CALOR

Em geral, a solução analítica ou exata de problemas complexos envolvendo equações diferenciais parciais, demandam grande esforço e sofisticação matemática. Daí a necessidade do desenvolvimento de algoritmos ou métodos numéricos para solução de problemas reais. Entre os principais métodos numéricos utilizados para resolução dessas equações encontramos, além do método dos elementos finitos, o método das diferenças finitas.

### PARTE 3 – MÉTODO DAS DIFERENÇAS FINITAS

A ideia central do método das diferenças finitas é substituir as derivadas parciais na equação diferencial parcial, que descreve a condução do calor, por uma equação de diferença algébrica. Dessa forma, é possível transformar a resolução de uma equação diferencial parcial em um sistema de equações algébricas que pode facilmente ser executado em computadores. Em outras palavras, o método consiste na discretização do

domínio, como ilustra a Fig. 1a e 1b, e na substituição das derivadas presentes na equação diferencial por aproximações utilizando apenas os valores numéricos da função. Para representar a aproximação da segunda derivada no espaço, utilizamos a diferença finita centrada, reescrita da seguinte forma:

$$\frac{\partial^2 T}{\partial x^2} = \frac{T_{i+1,j} - 2T_{i,j} + T_{i-1,j}}{\Delta x^2}$$

$$\frac{\partial^2 T}{\partial y^2} = \frac{T_{i,j+1} - 2T_{i,j} + T_{i,j-1}}{\Delta y^2}$$

Para representar a primeira derivada no tempo utilizamos a diferença progressiva, que é expressa da seguinte forma:

$$\frac{\partial T}{\partial t} = \frac{T_i^{l+1} - T_i^l}{\Delta t}$$

Os valores  $T_i^l$  representam valores de temperatura na malha definida como na Fig. 1.

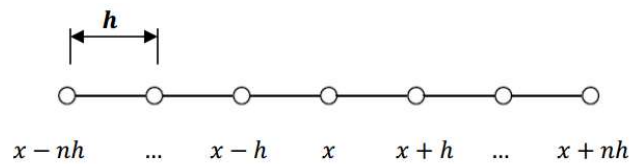


Fig. 1a – Discretização de malha unidimensional.

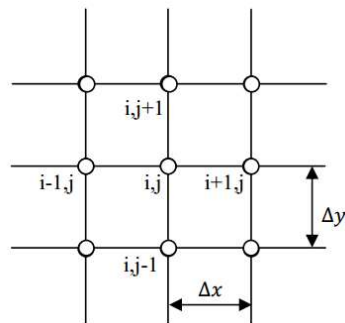


Fig. 1b – Discretização de malha bidimensional

- ✓ Para entender os detalhes da aplicação do método das diferenças finitas, faça a leitura do Cap 29 “Diferenças Finitas: Equações elípticas”, e Cap30 “Diferenças Finitas: Equações parabólicas”, do livro CHAPRA, STEVEN C.; CANALE, RAYMOND P. Numerical Methods for Engineers. 6TH ED. NEW YORK: MCGRAW-HILL HIGHER EDUCATION.

#### **PARTE 4 – IMPLEMENTAÇÃO UNIDIMENSIONAL**

Para praticar, vamos aplicar os conceitos discutidos sobre o método das diferenças finitas e obter a solução aproximada de um problema envolvendo condução de calor em uma barra unidimensional. Nesse caso, aplicando o método das diferenças finitas na equação do calor considerando o regime transiente teremos:

$$T_i^{l+1} = T_i^l + \left( \alpha \frac{\Delta t}{\Delta x^2} \right) (T_{i+1}^l - 2T_i^l + T_{i-1}^l)$$

- ✓ Verifique a relação anterior substituindo os termos para a aproximação das derivadas parciais na equação do calor após as devidas simplificações do modelo e sabendo que  $F_0 = \alpha \frac{\Delta t}{\Delta x^2}$ .

- ✓ Considere a seguinte situação: Uma barra de alumínio com 50 cm de comprimento e dimensões desprezíveis em relação ao eixo y e z, foi isolada termicamente em ambos os lados de modo a não trocar calor com o ambiente externo. Inicialmente, essa barra foi mantida a uma temperatura constante de 20°C e suas extremidades foram mantidas a 0 °C, como ilustra a Fig. 2. Sabendo que o alumínio possui difusividade térmica  $\alpha = 1\text{cm}^2/\text{s}$ , faça a implementação de um programa para determinar a temperatura  $T(x, t)$  em qualquer instante de tempo e posição na barra, usando o método das diferenças finitas.

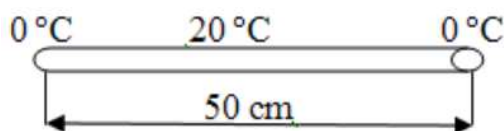


Fig. 2 – Distribuição de temperatura inicial em uma barra de alumínio.

Lembre-se que a temperatura  $T(x, t)$  da barra, satisfaz a equação do calor

$$\frac{\partial T}{\partial t} = \alpha \frac{\partial^2 T}{\partial x^2}$$

Com condições iniciais  $T(x, 0) = 20$  para  $0 < x < 50\text{cm}$  e condições de contorno,  $T(0, t) = 0$  e  $T(L, t) = 0$  para  $t > 0$ .

- ✓ Use uma malha uniforme com espaçamento de 5 cm no comprimento da barra ( $\Delta x$ ) e 5s em relação ao tempo ( $\Delta t$ ), de modo que  $\alpha \frac{\Delta t}{\Delta x^2} = 0,2$ .

- ✓ Compare seus resultados com a solução analítica para um determinado instante de tempo.

$$T(x, t) = \frac{80}{\pi} \sum_{n=1,3,5}^{\infty} \frac{1}{n} e^{\left(\frac{-n^2 \pi^2 \alpha t}{2500}\right)} \sin\left(\frac{n \pi x}{50}\right)$$

- ✓ Construa um gráfico (*Temperatura × posição*) para diferentes intervalos de tempo.
- ✓ Na Tabela 4.2 (INCROPERA, F. P.; WITT, D. P. Fundamentos de Transferência de Calor e Massa, 6A EDIÇÃO, LTC, 2008.) são fornecidas as equações de diferenças finitas para regiões nodais comuns. Faça uma pesquisa e discuta com os colegas quais seriam as modificações necessárias para adaptar o modelo para simulação do comportamento térmico de uma aleta.

## PART 5 – DIFERENÇAS FINITAS BIDIMENSIONAL

A transferência de calor em uma placa retangular, cujos lados estão submetidos a diferentes temperaturas, como ilustra a Fig. 3, pode ser representada pela expressão geral para a difusão de calor, em coordenadas cartesianas.

$$\rho C_p \frac{\partial T}{\partial t} = \frac{\partial}{\partial x} \left( \kappa \frac{\partial T}{\partial x} \right) + \frac{\partial}{\partial y} \left( \kappa \frac{\partial T}{\partial y} \right) + \frac{\partial}{\partial z} \left( \kappa \frac{\partial T}{\partial z} \right) + \dot{q}$$

Considerando que todos os pontos da placa estejam a uma temperatura inicial  $T_0$  e sendo esta temperatura diferente das temperaturas das bordas e que o termo fonte de geração de calor seja nulo, o problema que se coloca é determinar a temperatura em qualquer ponto interno da placa em um dado instante de tempo.

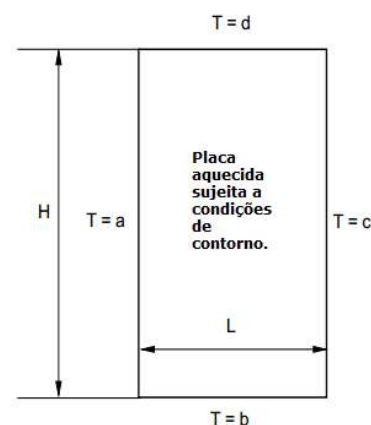


Fig. 3 – Domínio do problema para análise térmica da placa.

- ✓ Faça as devidas simplificações no modelo e determine a equação do calor, em coordenadas cartesianas, para o problema da condução de calor na placa.

### **PARTE 6 – SOLUÇÃO DA EQUAÇÃO DO CALOR BIDIMENSIONAL**

A aplicação do MDF (método das diferenças finitas) para o problema proposto pode ser resumida em três etapas:

- ❖ Discretização do domínio (malha espacial) e das derivadas.

Nessa etapa devemos considerar uma malha cuja distância entre os nós sejam  $\Delta x$  na direção  $x$  e  $\Delta y$  na direção  $y$ .

- ❖ Escolha de um esquema temporal e discretização temporal.

Nessa etapa devemos considerar a discretização usando diferenças adiantadas para a derivada temporal.

- ❖ Cálculo de  $T(x, y, t)$ .

Nessa etapa os valores de temperatura para qualquer ponto interno da placa são determinados para cada instante de tempo.

- ✓ Usando diferenças centrais para o cálculo das derivadas espaciais, diferenças adiantadas para a derivada temporal, faça as devidas simplificações na equação do calor para obter uma expressão que represente a temperatura em pontos discretos da placa.

### **PARTE 7 – IMPLEMENTAÇÃO BIDIMENSIONAL**

Se considerarmos  $\Delta x = \Delta y$  na equação anterior, como na Fig 4, podemos isolar o termo  $T_{i,j}^{p+1}$  que representa a temperatura em um ponto  $(i, j)$  da malha, no instante de tempo  $p + 1$ , com o termo  $F_0 = \alpha \Delta t / \Delta x^2$ . Nesse

caso, todos os valores de temperatura da iteração atual são calculados com base nos valores de  $T$  da iteração anterior, por esse método de solução é chamado explícito, ou seja, o campo de temperatura é calculado explicitamente para cada iteração temporal.

$$T_{i,j}^{p+1} = F_0 (T_{i+1,j}^p + T_{i-1,j}^p + T_{i,j+1}^p + T_{i,j-1}^p) + (1 - 4F_0)T_{i,j}^p$$

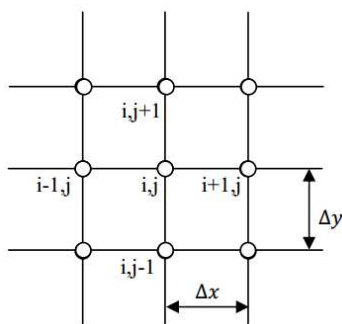


Fig. 4 – Discretização de malha bidimensional

- ✓ É bom lembrar que na formulação por diferenças finitas explícita, devemos observar com cuidado os problemas relacionados à estabilidade. Portanto, faça a leitura da seção 30.2.1 “Convergência e estabilidade” do livro CHAPRA, STEVEN C.; CANALE, RAYMOND P. Numerical Methods for Engineers. 6TH ED. NEW YORK: MCGRAW-HILL HIGHER EDUCATION.

Para praticar, trabalhe com seu grupo o desenvolvimento do programa usando diferenças finitas para solução numérica da equação do calor em uma placa com condições de contorno definidas, como ilustra a Fig. 3. Procure discutir sobre os seguintes tópicos:

- I. Implementação de função para construção da malha de cálculo que represente o domínio discretizado no qual se deseja conhecer o campo de temperatura;
- II. Implementação de função para aplicação das condições de contorno para o problema, na qual as temperaturas dos nós de fronteira são conhecidas;
- III. Procedimento iterativo de evolução temporal.
- IV. Construção de um modelo para validar o programa implementado (Fusion, Energy2D).

Considere a placa quadrada  $40 \times 40 \text{ cm}$  de alumínio, e com as condições de contorno de temperatura como indicado na Fig. 5.

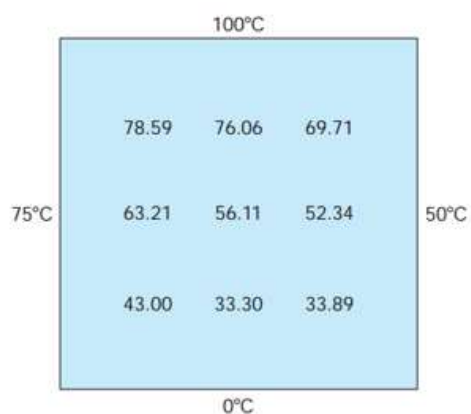


Fig. 5 – Distribuição de temperatura em placa quadrada de alumínio. Condições de contorno de Dirichlet. A temperatura nas bordas é mantida constante.

Considere  $\alpha = 9.4967 \times 10^{-5} \text{ m}^2/\text{s}$  e use uma malha com espaçamento  $\Delta x = \Delta y = 0,08 \text{ m}$  e  $\Delta t = 1 \text{ s}$ . Assuma que as temperaturas indicadas na figura estão em  $^{\circ}\text{C}$  e que todos os nós internos na malha estão a  $0^{\circ}\text{C}$ .

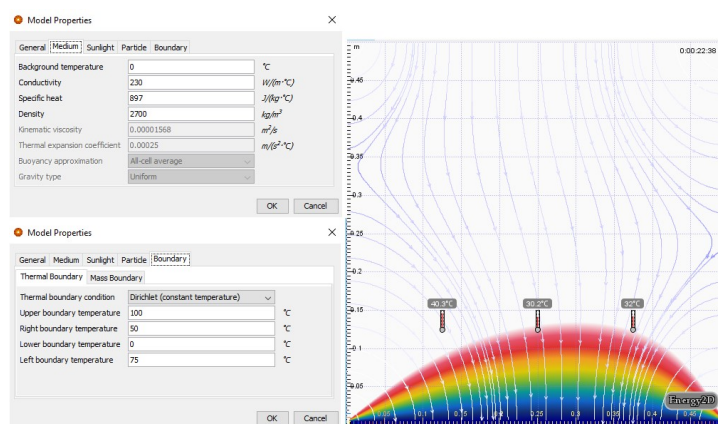


Fig. 6 – Distribuição de temperatura em uma placa aquecida sujeita a condições de contorno fixa de temperatura nas bordas. O modelo foi simulado usando o software Energy 2D.

Para avaliar a convergência da solução, considere o máximo valor para o erro relativo de acordo com a relação, para cada iteração.

$$|(\varepsilon_a)_{i,j}| = \left| \frac{T_{i,j}^{\text{new}} - T_{i,j}^{\text{old}}}{T_{i,j}^{\text{new}}} \right| 100\%$$

### BIBLIOGRAFIA:

- ✓ MUNSON, B. R.; MORAN, M. J.; SHAPIRO, H. N. INTRODUÇÃO À ENGENHARIA DE SISTEMAS TÉRMICOS, LTC, 2012.
- ✓ INCROPERA, F. P.; WITT, D. P. FUNDAMENTOS DE TRANSFERÊNCIA DE CALOR E MASSA, 6A EDIÇÃO, LTC, 2008.
- ✓ CHAPRA, STEVEN C.; CANALE, RAYMOND P. NUMERICAL METHODS FOR ENGINEERS. 6TH ED. NEW YORK: MCGRAW-HILL HIGHER EDUCATION, C2010. 968 P. ISBN 9780073401065 (ENC.)